

Projekt: Model: Podlahový rošt nové
Krokve

Datum: 25.4.2016

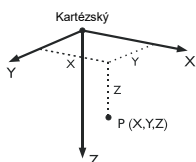
MODEL - ZÁKLADNÍ ÚDAJE

Obecné	Název modelu	: Podlahový rošt nové
	Označení modelu	: Krokve
	Typ modelu	: 2D-XZ (ux/uz/ y)
	Kladný směr globální osy Z	: Dolů
	Klasifikace zatěžovacích stavů a kombinací	: Podle normy: EN 1990 + EN 1995 Národní příloha: ČSN - Česká Republika
	<input checked="" type="checkbox"/> Automaticky vytvořit kombinace	: <input checked="" type="checkbox"/> Kombinace zatížení

NASTAVENÍ SÍTĚ PRVKŮ

Obecné	Požadovaná délka konečných prvků	l_{FE}	: 0.5 m
	Maximální vzdálenost mezi uzlem a linií pro integrování do linie	e	: 0.0 m
	Maximální počet uzlů sítě KP v tisících		: 500
Pruty	Počet dělení lanových prutů, prutů s pružným podložím, s náběhy nebo plastickými vlastnostmi:		: 10
	<input checked="" type="checkbox"/> Aktivovat dělení prutů pro analýzu velkých deformací resp. postkritickou analýzu		
	<input checked="" type="checkbox"/> Dělit pruty na nich ležícím uzlem		
Plochy	Maximální poměr diagonál obdélníku KP	D_D	: 1.800
	Maximální přípustný odklon 2 prvků sítě od roviny	a	: 0.50 °
	Tvar konečných prvků:		: Trojúhelníky a čtyřúhelníky <input checked="" type="checkbox"/> Generovat stejné čtverce, kde je to možné

1.1 UZLY



Uzel č.	Typ uzlu	Vztažný uzlu	Souřadný systém	Souřadnice uzlu		Komentář
				X [m]	Z [m]	
1	Standard	-	Kartézský	0.000	0.000	
2	Standard	-	Kartézský	1.880	0.000	
3	Standard	-	Kartézský	2.480	0.000	
4	Standard	-	Kartézský	2.680	0.000	
5	Standard	-	Kartézský	4.580	0.000	
6	Standard	-	Kartézský	5.380	0.000	
7	Standard	-	Kartézský	6.440	0.000	

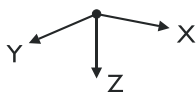
1.2 LINIE

Linie č.	Typ linie	Uzly č.	Délka linie L [m]			Komentář
1	Polylinie	1,2	1.880	X		
2	Polylinie	2,3	0.600	X		
3	Polylinie	3,4	0.200	X		
4	Polylinie	4,5	1.900	X		
5	Polylinie	5,6	0.800	X		
6	Polylinie	6,7	1.060	X		

1.3 MATERIÁLY

Mat. č.	Modul E [MPa]	Modul G [MPa]	Poissonův souč. n [-]	Objem. tíha g [kN/m³]	Souč. tepl. roztl. a [1/K]	Souč. spolehlivosti γ_M [-]	Materiálový model
1	11000.000	690.000	6.971	4.20	5.00E-06	1.30	Izotropní lineárně elastický
2	11000.000	690.000	6.971	4.20	5.00E-06	1.30	Izotropní lineárně elastický

1.7 UZLOVÉ PODPORY

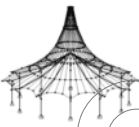


Podpora č.	Uzly č.	Natočení [°] okolo Y	Uložení resp. pružina [kN/m] [kNm/rad]			Komentář
			u_x	u_z	j_y	
1	2,5	0.00	<input checked="" type="checkbox"/>	<input checked="" type="checkbox"/>	<input checked="" type="checkbox"/>	
2	4,6	0.00	<input type="checkbox"/>	<input checked="" type="checkbox"/>	<input type="checkbox"/>	

1.13 PRŮŘEZY



Průřez č.	Mater. č.	I_T [mm⁴]	I_y [mm⁴]	I_z [mm⁴]	Hlavní osy a [°]	Natočení a' [°]	Celkové rozměry [mm]	
		A [mm²]	A_y [mm²]	A_z [mm²]			Šířka b	Výška h
1	T-obdélník 80/240							
2	2	19200.0	92160008.0	16000.0	0.00	0.00	80.0	240.0
2	T-obdélník 80/240							



Projekt: Model: Podlahový rošt nové
Krokve

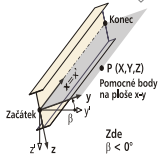
Datum: 25.4.2016

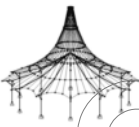
1.13 PRŮŘEZY

Průřez č.	Mater. č.	I_T [mm ⁴]	I_y [mm ⁴]	I_z [mm ⁴]	Hlavní osy a [°]	Natočení a' [°]	Celkové rozměry [mm]	
		A [mm ²]	A_y [mm ²]	A_z [mm ²]			Šířka b	Výška h
1	1	19200.0	92160008.0	16000.0	0.00	0.00	80.0	240.0

1.17 PRUTY

Prut č.	Linie č.	Typ prutu	Natočení prutu		Průřez		Kloub č.		Exc. č.	Dělení č.	Délka L [m]	
			typ	b [°]	Počát.	Konec	Počát.	Konec				
1	1	Nosník	Úhel	0.00	2	2	-	-	-	-	1.880	X
2	2	Nosník	Úhel	0.00	2	2	-	-	-	-	0.600	X
3	3	Nosník	Úhel	0.00	2	2	-	-	-	-	0.200	X
4	4	Nosník	Úhel	0.00	2	2	-	-	-	-	1.900	X
5	5	Nosník	Úhel	0.00	2	2	-	-	-	-	0.800	X
6	6	Nosník	Úhel	0.00	2	2	-	-	-	-	1.060	X





Projekt:

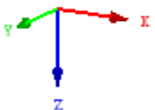
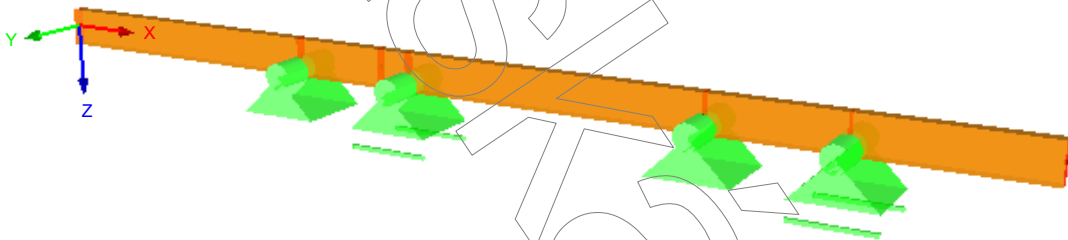
Model: Podlahový rošt nové

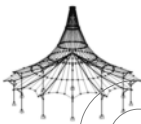
Datum: 25.4.2016

Krokve

MODEL

Izometrie





ZATÍŽENÍ

Projekt: Model: Podlahový rošt nové
Krokve

Datum: 25.4.2016

2.1 ZATĚŽOVACÍ STAVY

Zatěž. stav	Označení zatěž. stavu	Kategorie účinků	Aktivní	Vlastní tíha - Součinitel ve směru			EN 1990 + 1995 ČSN
				X	Y	Z	Doba trvání zatížení
ZS1	Stálé	Stálé	<input checked="" type="checkbox"/>	0.000		1.000	Stálé

2.1.1 ZATĚŽOVACÍ STAVY - PARAMETRY VÝPOČTU

Zatěž. stav	Označení zatěž. stavu	Parametry výpočtu
ZS1	Stálé	Způsob výpočtu : <input type="radio"/> Teorie I. řádu (geometrický lineární výpočet) Metoda pro řešení systému : <input type="radio"/> Newton-Raphson nelineárních algebraických rovnic

2.5 KOMBINACE ZATÍŽENÍ

Kombin. zatížení	NS	Označení	č.	Součinitel	Zatěžovací stav
KZ1	ULS	1,35*ZS1	1	1.35	ZS1 Stálé
KZ2	S Ch	ZS1	1	1.00	ZS1 Stálé
KZ3	S Qp	1,8*ZS1	1	1.80	ZS1 Stálé

2.5.2 KOMBINACE ZATÍŽENÍ - PARAMETRY VÝPOČTU

Kombin. zatížení	Označení	Parametry výpočtu
KZ1	1.35*ZS1	Způsob výpočtu : <input type="radio"/> Analýza podle II. řádu (P-Delta) Metoda pro řešení systému : <input type="radio"/> Picard nelineárních algebraických rovnic Možnosti : <input checked="" type="checkbox"/> Zohlednit příznivé tahové účinky : <input checked="" type="checkbox"/> Vztáhnout vnitřní síly na přetvořený systém pro: : <input checked="" type="checkbox"/> Normálové síly N : <input checked="" type="checkbox"/> Smykové síly V_y a V_z : <input checked="" type="checkbox"/> Momenty M_y , M_z a M_T
KZ2	ZS1	Způsob výpočtu : <input type="radio"/> Analýza podle II. řádu (P-Delta) Metoda pro řešení systému : <input type="radio"/> Picard nelineárních algebraických rovnic Možnosti : <input checked="" type="checkbox"/> Zohlednit příznivé tahové účinky : <input checked="" type="checkbox"/> Vztáhnout vnitřní síly na přetvořený systém pro: : <input checked="" type="checkbox"/> Normálové síly N : <input checked="" type="checkbox"/> Smykové síly V_y a V_z : <input checked="" type="checkbox"/> Momenty M_y , M_z a M_T
KZ3	1.8*ZS1	Způsob výpočtu : <input type="radio"/> Analýza podle II. řádu (P-Delta) Metoda pro řešení systému : <input type="radio"/> Picard nelineárních algebraických rovnic Možnosti : <input checked="" type="checkbox"/> Zohlednit příznivé tahové účinky : <input checked="" type="checkbox"/> Vztáhnout vnitřní síly na přetvořený systém pro: : <input checked="" type="checkbox"/> Normálové síly N : <input checked="" type="checkbox"/> Smykové síly V_y a V_z : <input checked="" type="checkbox"/> Momenty M_y , M_z a M_T

2.5.5 KOMBINACE ZATÍŽENÍ - IMPERFEKCE

Kombin. zatížení	Označení KZ	Použít imperfekci z modulu RF-IMP	Použít imperfekci
KZ1	1.35*ZS1	<input type="checkbox"/>	
KZ2	ZS1	<input type="checkbox"/>	
KZ3	1.8*ZS1	<input type="checkbox"/>	

2.6 KOMBINACE VÝSLEDKŮ

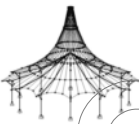
Kombin. výsledků	NS	Označení	č.	Součinitel	Zatěžování	Kritérium	Alternativ. skupina
KV1	ULS	MSÚ (STR/GEO) - stálá / přechodná - rovn. 6.10	1	1.00	KZ1	Stálé	-
KV2	S Ch	MSP - charakteristická / málo častá	1	1.00	KZ2	Stálé	-
KV3	S Qp	MSP - kvazistálá	1	1.00	KZ3	Stálé	-

3.1 ZATÍŽENÍ NA UZEL - PO KOMPONENTECH - SOUŘADNÝ SYSTÉM

ZS1
Stálé

č.	Na uzlech		Souřadný systém	Síla [kN]		Moment M_y [kNm]
	č.			P_x	P_z	
1	7		0 Globální XYZ	0.000	2.241	0.000
2	3		0 Globální XYZ	0.000	2.510	0.000

ZS1: Stálé



Projekt:

Model: Podlahový rošt nové

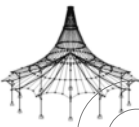
Datum: 25.4.2016

Krokve

3.2 ZATÍŽENÍ NA PRUT

ZS1: Stálé

č.	Vztaženo na	Na prutech č.	Zatížení typ	Zatížení průběh	Zatížení směr	Vztažná délka	Parametry zatížení		
							Symbol	Hodnota	Jednotka
1	Pruty	3-6	Síla	Konstant.	ZL	Skutečná d.	p	0.345	kN/m
2	Pruty	1,2	Síla	Konstant.	ZL	Skutečná d.	p	0.230	kN/m



Projekt:

Model: Podlahový rošt nové

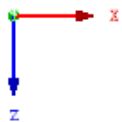
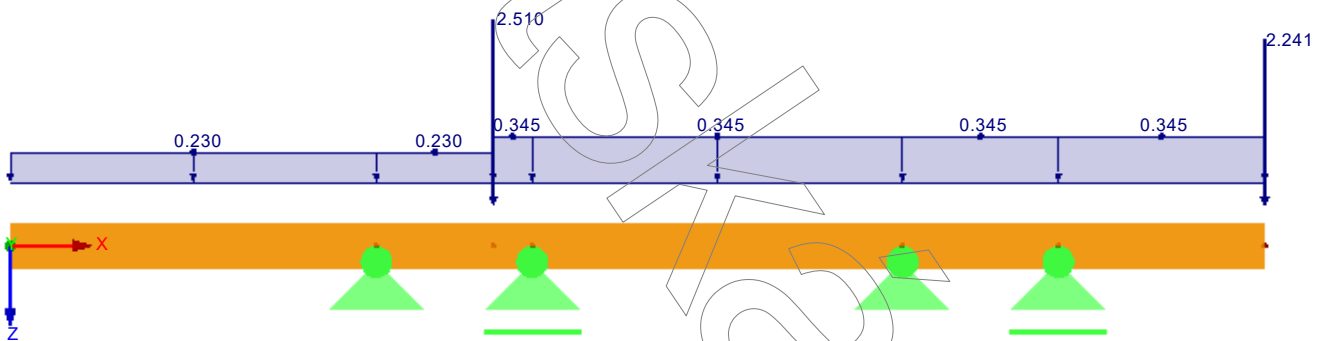
Datum: 25.4.2016

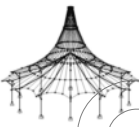
Krokve

ZS1: STÁLÉ

ZS1: Stále
Zatížení [kN/m], [kN]

Proti směru osy Y





Projekt:

Model: Podlahový rošt nové

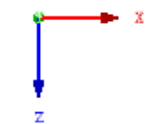
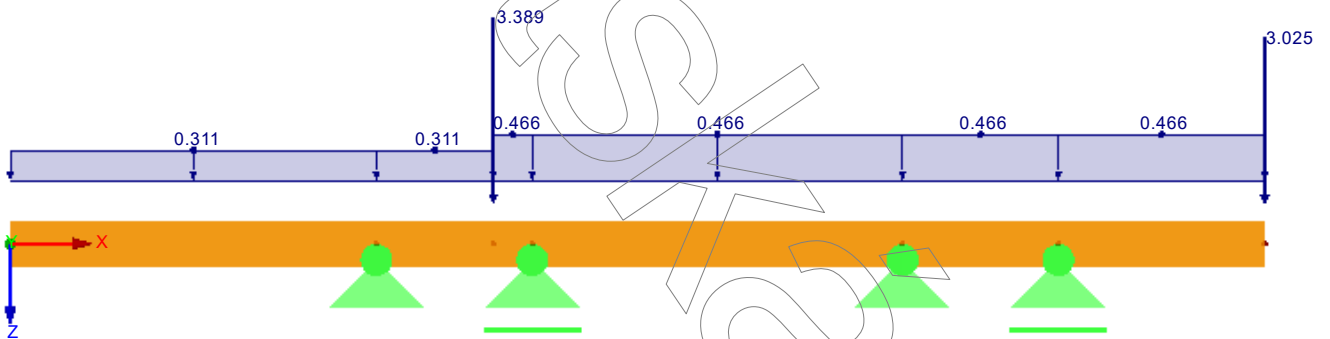
Datum: 25.4.2016

Krokve

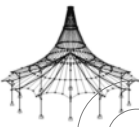
■ KZ1: 1.35*ZS1

KZ1: 1.35*ZS1
Zatížení [kN/m], [kN]

Proti směru osy Y



0.777 m



Projekt:

Model: Podlahový rošt nové

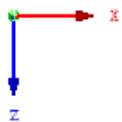
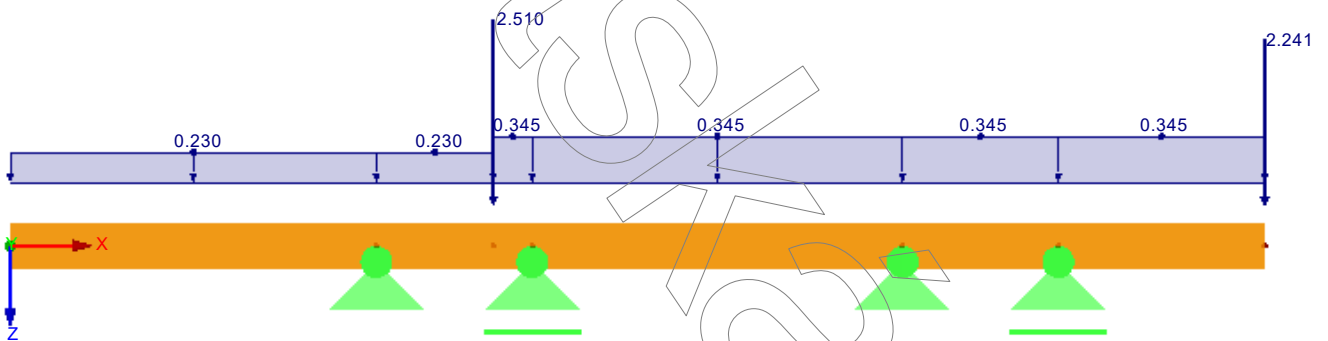
Datum: 25.4.2016

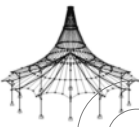
Krokve

■ KZ2: ZS1

KZ2: ZS1
Zatížení [kN/m], [kN]

Proti směru osy Y





Projekt:

Model: Podlahový rošt nové

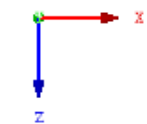
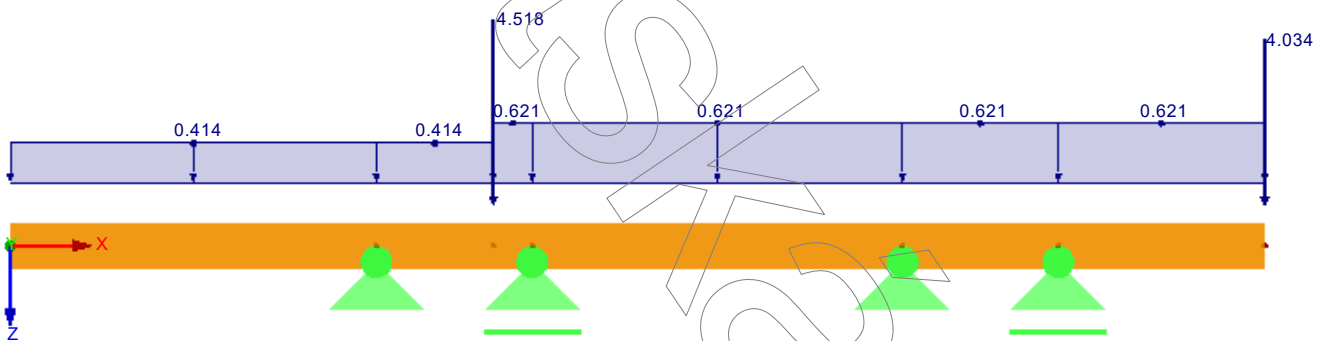
Datum: 25.4.2016

Krokve

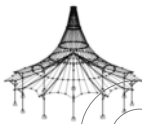
■ KZ3: 1.8*ZS1

KZ3: 1.8*ZS1
Zatížení [kN/m], [kN]

Proti směru osy Y



0.777 m



Projekt:

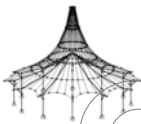
Model: Podlahový rošt nové

Datum: 25.4.2016

Krokve

4.0 VÝSLEDKY - SOUHRN

Označení	Hodnota	Jednotky	Komentář
Stálé			
Součet zatížení ve směru X	0.000	kN	Odchylka 0.00% V těžišti modelu (X:3.220, Y:0.000, Z:0.000 m) Prut č. 6, x: 1.060 m Prut č. 6, x: 1.060 m Prut č. 6, x: 1.060 m Teorie I. řádu (geometrický lineární výpočet)
Součet reakcí v X	0.000	kN	
Součet zatížení ve směru Z	7.207	kN	
Součet reakcí v Z	7.207	kN	
Výslednice reakcí okolo X	0.000	kNm	
Výslednice reakcí okolo Y	-5.923	kNm	
Výslednice reakcí okolo Z	0.000	kNm	
Max. posun ve směru X	0.0	mm	
Max. posun ve směru Z	2.2	mm	
Max. posun vektorový	2.2	mm	
Max. pootočení okolo Y	-0.0023	rad	
Způsob výpočtu	I. řád		
Redukce tuhosti vynásobením součinitelem	<input type="checkbox"/>		
Počet přírůstků zatížení	1		
Počet iterací	1		
KZ1 - 1.35*ZS1			Odchylka 0.00% V těžišti modelu (X:3.2200, Y:0.0000, Z:0.0000 m) V těžišti modelu V těžišti modelu Prut č. 6, x: 1.060 m Prut č. 6, x: 1.060 m Prut č. 6, x: 1.060 m Teorie II. řádu (nelineární výpočet podle Timoshenka) N, V _y , V _z , M _y , M _z , M _T
Součet zatížení ve směru X	0.000	kN	
Součet reakcí v X	0.000	kN	
Součet zatížení ve směru Z	9.729	kN	
Součet reakcí v Z	9.729	kN	
Výslednice reakcí okolo X	0.0000	kNm	
Výslednice reakcí okolo Y	-7.9965	kNm	
Výslednice reakcí okolo Z	0.0000	kNm	
Max. posun ve směru X	0.0	mm	
Max. posun ve směru Z	3.9	mm	
Max. posun vektorový	3.9	mm	
Max. pootočení okolo Y	-0.0040	rad	
Způsob výpočtu	II. řád		
Vnitřní síly vztažené na deformovaný systém pro...	<input checked="" type="checkbox"/>		
Redukce tuhosti vynásobením součinitelem	<input checked="" type="checkbox"/>		
Zohlednit příznivé působení tahových sil	<input checked="" type="checkbox"/>		
Zpětné dělení výsledků součinitelem KZ	<input type="checkbox"/>		
Počet přírůstků zatížení	1		
Počet iterací	2		
KZ2 - ZS1			Odchylka 0.00% V těžišti modelu (X:3.2200, Y:0.0000, Z:0.0000 m) V těžišti modelu V těžišti modelu Prut č. 6, x: 1.060 m Prut č. 6, x: 1.060 m Prut č. 6, x: 1.060 m Teorie II. řádu (nelineární výpočet podle Timoshenka) N, V _y , V _z , M _y , M _z , M _T
Součet zatížení ve směru X	0.000	kN	
Součet reakcí v X	0.000	kN	
Součet zatížení ve směru Z	7.207	kN	
Součet reakcí v Z	7.207	kN	
Výslednice reakcí okolo X	0.0000	kNm	
Výslednice reakcí okolo Y	-5.9233	kNm	
Výslednice reakcí okolo Z	0.0000	kNm	
Max. posun ve směru X	0.0	mm	
Max. posun ve směru Z	2.2	mm	
Max. posun vektorový	2.2	mm	
Max. pootočení okolo Y	-0.0023	rad	
Způsob výpočtu	II. řád		
Vnitřní síly vztažené na deformovaný systém pro...	<input checked="" type="checkbox"/>		
Redukce tuhosti vynásobením součinitelem	<input type="checkbox"/>		
Zohlednit příznivé působení tahových sil	<input checked="" type="checkbox"/>		
Zpětné dělení výsledků součinitelem KZ	<input type="checkbox"/>		
Počet přírůstků zatížení	1		
Počet iterací	2		
KZ3 - 1.8*ZS1			Odchylka 0.00% V těžišti modelu (X:3.2200, Y:0.0000, Z:0.0000 m) V těžišti modelu V těžišti modelu Prut č. 6, x: 1.060 m Prut č. 6, x: 1.060 m Prut č. 6, x: 1.060 m Teorie II. řádu (nelineární výpočet podle Timoshenka) N, V _y , V _z , M _y , M _z , M _T
Součet zatížení ve směru X	0.000	kN	
Součet reakcí v X	0.000	kN	
Součet zatížení ve směru Z	12.972	kN	
Součet reakcí v Z	12.972	kN	
Výslednice reakcí okolo X	0.0000	kNm	
Výslednice reakcí okolo Y	-10.6620	kNm	
Výslednice reakcí okolo Z	0.0000	kNm	
Max. posun ve směru X	0.0	mm	
Max. posun ve směru Z	4.0	mm	
Max. posun vektorový	4.0	mm	
Max. pootočení okolo Y	-0.0041	rad	
Způsob výpočtu	II. řád		
Vnitřní síly vztažené na deformovaný systém pro...	<input checked="" type="checkbox"/>		
Redukce tuhosti vynásobením součinitelem	<input type="checkbox"/>		
Zohlednit příznivé působení tahových sil	<input checked="" type="checkbox"/>		
Zpětné dělení výsledků součinitelem KZ	<input type="checkbox"/>		
Počet přírůstků zatížení	1		
Počet iterací	2		
Celkem			
Ostatní nastavení	Počet konečných prvků 1D	:	6
	Počet konečných prvků 2D	:	0
	Počet konečných prvků 3D	:	0
	Počet uzlů sítě prvků	:	7
	Počet rovnic	:	21
	Maximální počet iterací	:	100
	Počet dělení prutu pro průběhy výsledků	:	10
	Dělení prutů typu lano, prutů s náběhem a na podloží	:	10
	Počet dělení prutů pro hledání maximálních hodnot	:	10
	Rozdělení sítě KP pro grafické výsledky	:	3
	Procentuální počet iterací Picardovy metody v kombinaci s metodou Newton-Raphsonovou	:	5%
Možnosti	<input checked="" type="checkbox"/> Aktivovat smykovou tuhost prutů (Ay, Az)		



Projekt:

Model: Podlahový rošt nové

Datum: 25.4.2016

Krokve

4.0 VÝSLEDKY - SOUHRN

- Aktivovat dělení prutů pro analýzu velkých deformací nebo poskritickou analýzu
 - Aktivovat zadané změny tuhosti
 - Kontrola kritických sil prutů
- Metoda pro systém rovnic

Ohybová teorie desek

Verze řešiče

- Přímá
- Iterační
- Mindlinova
- Kirchhoffova
- 32-bit
- 64-bit

Přesnost a tolerance

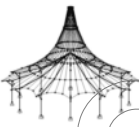
Změnit standardní nastavení

4.1 UZLY - PODPOROVÉ SÍLY

Uzel č.	ZS/KZ	Podporové síly [kN]		Podporové momenty M_y [kNm]	Komentář
		P_x	P_z		
2	ZS1	0.000	1.792	0.000	
	KZ1	0.000	2.419	0.000	
	KZ2	0.000	1.792	0.000	
	KZ3	0.000	3.225	0.000	
4	ZS1	0.000	2.060	0.000	
	KZ1	0.000	2.782	0.000	
	KZ2	0.000	2.060	0.000	
	KZ3	0.000	3.709	0.000	
5	ZS1	0.000	-2.738	0.000	
	KZ1	0.000	-3.696	0.000	
	KZ2	0.000	-2.738	0.000	
	KZ3	0.000	-4.928	0.000	
6	ZS1	0.000	6.093	0.000	
	KZ1	0.000	8.225	0.000	
	KZ2	0.000	6.093	0.000	
	KZ3	0.000	10.967	0.000	

4.12 PRŮŘEZY - VNITŘNÍ SÍLY

Prut č.	ZS/KZ	Uzel č.	Místo x [m]	Síly [kN]		Momenty M_y [kNm]	
				N	V_z		
Průřez č. 2: T-obdélník 80/240							
1	ZS1	1	0.000	0.000	0.000	0.000	
		2	1.880	0.000	-0.584	-0.549	
		KZ1	1	0.000	0.000	0.000	0.000
			2	1.880	0.000	-0.788	-0.741
		KZ2	1	0.000	0.000	0.000	0.000
			2	1.880	0.000	-0.584	-0.549
	2	ZS1	2	0.000	0.000	1.208	-0.549
			3	0.600	0.000	1.021	0.120
		KZ1	2	0.000	-0.000	1.630	-0.741
			3	0.600	-0.000	1.379	0.162
		KZ2	2	0.000	-0.000	1.208	-0.549
			3	0.600	-0.000	1.021	0.120
3	ZS1	3	0.000	0.000	-1.489	0.120	
		4	0.200	0.000	-1.574	-0.187	
	KZ1	3	0.000	0.000	-2.010	0.162	
		4	0.200	0.000	-2.125	-0.252	
	KZ2	3	0.000	0.000	-1.489	0.120	
		4	0.200	0.000	-1.574	-0.187	
4	ZS1	4	0.000	0.000	0.487	-0.187	
		5	1.900	0.000	-0.322	-0.030	
	KZ1	4	0.000	-0.000	0.657	-0.252	
		5	1.900	0.000	-0.435	-0.041	
	KZ2	4	0.000	-0.000	0.487	-0.187	
		5	1.900	0.000	-0.322	-0.030	
5	ZS1	5	0.000	0.000	-3.060	-0.030	
		6	0.800	0.000	-3.401	-2.615	
	KZ1	5	0.000	0.000	-4.131	-0.041	
		6	0.800	-0.008	-4.591	-3.530	
	KZ2	5	0.000	0.000	-3.060	-0.030	
		6	0.800	-0.003	-3.401	-2.615	
6	ZS1	6	0.000	0.000	2.692	-2.615	
		7	1.060	0.000	2.241	0.000	
	KZ1	6	0.000	0.006	3.634	-3.530	
		7	1.060	0.012	3.025	0.000	
	KZ2	6	0.000	0.003	2.692	-2.615	
		7	1.060	0.005	2.241	0.000	
KZ3	6	0.000	0.009	4.846	-4.706		
	7	1.060	0.017	4.034	0.000		



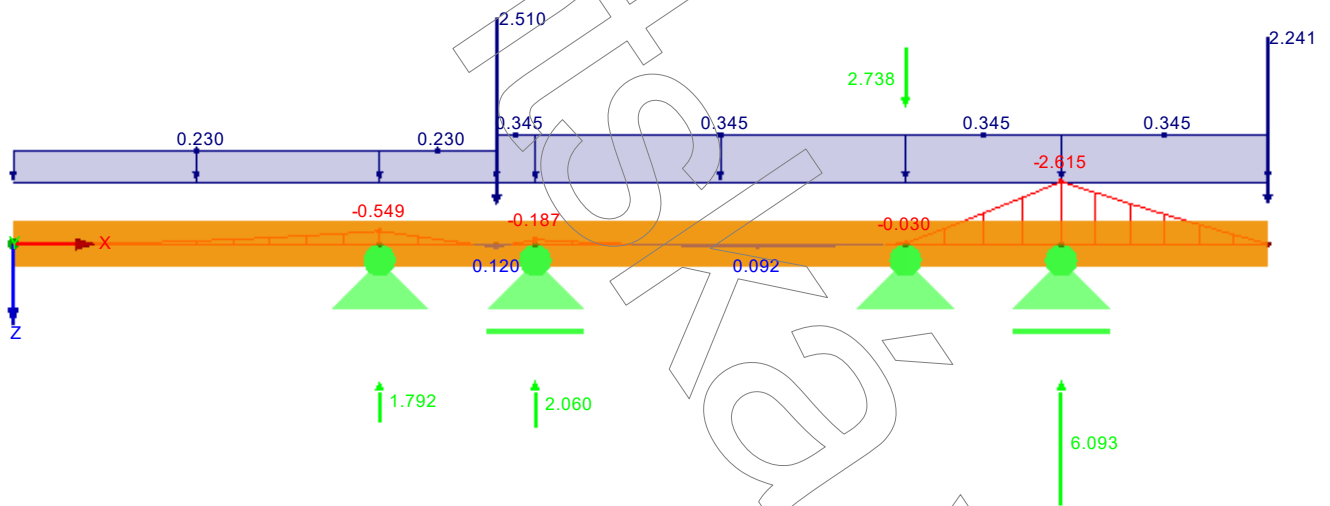
Projekt: Model: Podlahový rošt nové
Krokve

Datum: 25.4.2016

■ VNITŘNÍ SÍLY M_y , PODPOROVÉ REAKCE

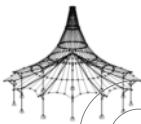
ZS1: Stále
Zatížení [kN/m], [kN]
Vnitřní síly M-y
Podporové reakce[kN]

Proti směru osy Y



Max P-Z': 6.093, Min P-Z': -2.738 kN
Max P-X': 0.000, Min P-X': 0.000 kN
Max M-y: 0.120, Min M-y: -2.615 kNm

0.777 m



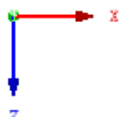
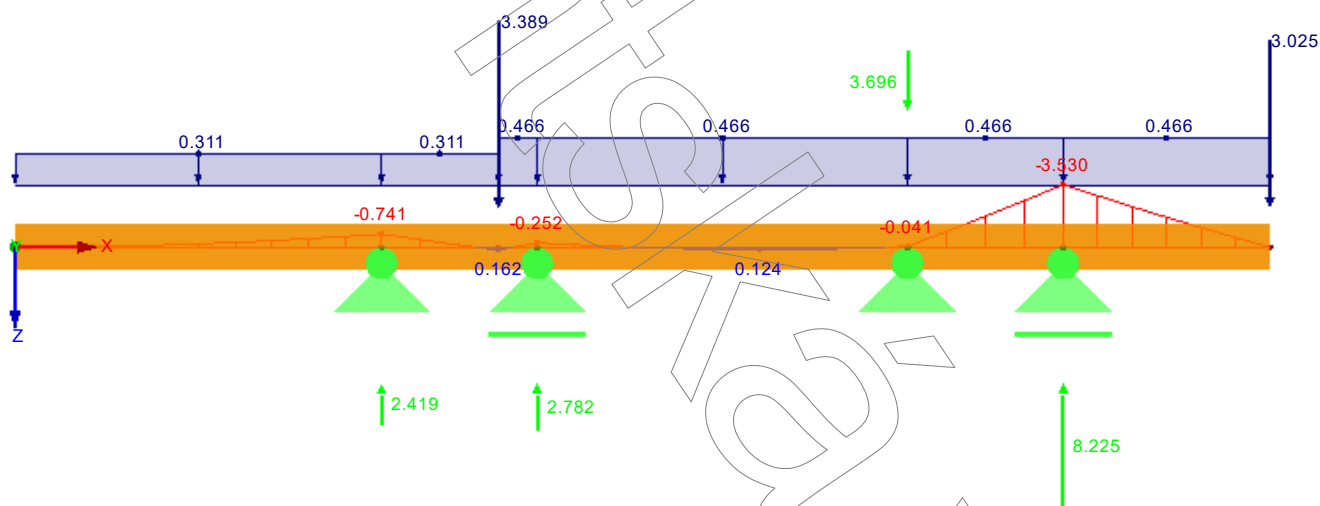
Projekt: Model: Podlahový rošt nové
Krokve

Datum: 25.4.2016

■ VNITŘNÍ SÍLY M_y , PODPOROVÉ REAKCE

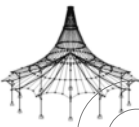
KZ1: 1.35°ZS1
Zatížení [kN/m], [kN]
Vnitřní síly M-y
Podporové reakce[kN]

Proti směru osy Y



Max P-Z': 8.225, Min P-Z': -3.696 kN
Max P-X': 0.000, Min P-X': 0.000 kN
Max M-y: 0.162, Min M-y: -3.530 kNm

0.777 m



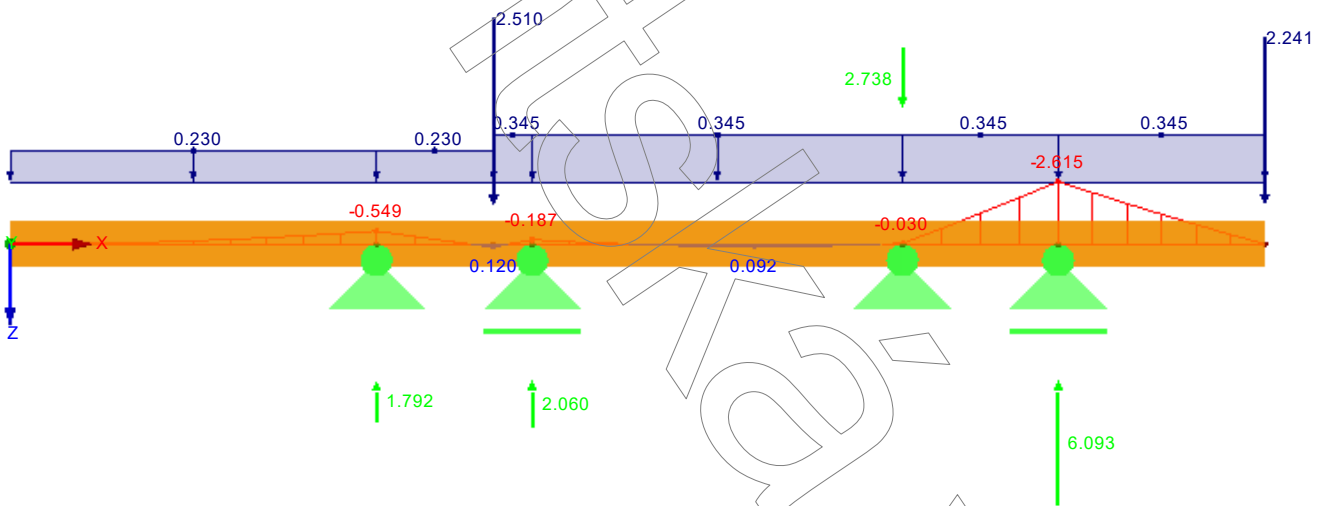
Projekt: Model: Podlahový rošt nové
Krokve

Datum: 25.4.2016

■ VNITŘNÍ SÍLY M_y , PODPOROVÉ REAKCE

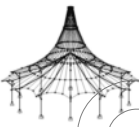
KZ2: ZS1
Zatížení [kN/m], [kN]
Vnitřní síly M-y
Podporové reakce[kN]

Proti směru osy Y



Max P-Z': 6.093, Min P-Z': -2.738 kN
Max P-X': 0.000, Min P-X': 0.000 kN
Max M-y: 0.120, Min M-y: -2.615 kNm

0.777 m



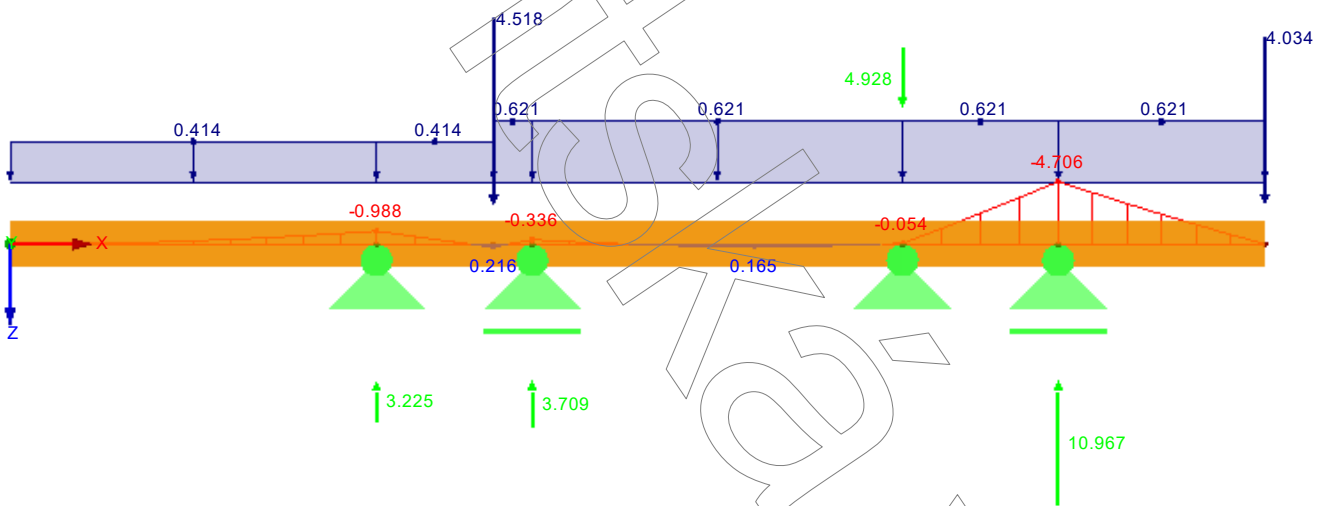
Projekt: Model: Podlahový rošt nové
Krokve

Datum: 25.4.2016

VNITŘNÍ SÍLY M_y , PODPOROVÉ REAKCE

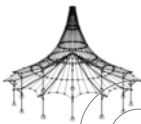
KZ3: 1.8*ZS1
Zatížení [kN/m], [kN]
Vnitřní síly M-y
Podporové reakce[kN]

Proti směru osy Y



Max P-Z: 10.967, Min P-Z: -4.928 kN
Max P-X: 0.000, Min P-X: 0.000 kN
Max M-y: 0.216, Min M-y: -4.706 kNm

0.777 m



Projekt:

Model: Podlahový rošt nové

Datum: 25.4.2016

Krokve

4.1 UZLY - PODPOROVÉ SÍLY

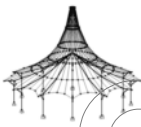
Kombinace výsledků

Uzel č.	KV		Podporové síly [kN]		Podporové momenty	Komentář
			P _x	P _z	M _y [kNm]	
2	KV1	Max	0.000	2.419	0.000	
		Min	0.000	2.419	0.000	
	KV2	Max	0.000	1.792	0.000	
		Min	0.000	1.792	0.000	
	KV3	Max	0.000	3.225	0.000	
		Min	0.000	3.225	0.000	
4	KV1	Max	0.000	2.782	0.000	
		Min	0.000	2.782	0.000	
	KV2	Max	0.000	2.060	0.000	
		Min	0.000	2.060	0.000	
	KV3	Max	0.000	3.709	0.000	
		Min	0.000	3.709	0.000	
5	KV1	Max	0.000	-3.696	0.000	
		Min	0.000	-3.696	0.000	
	KV2	Max	0.000	-2.738	0.000	
		Min	0.000	-2.738	0.000	
	KV3	Max	0.000	-4.928	0.000	
		Min	0.000	-4.928	0.000	
6	KV1	Max	0.000	8.225	0.000	
		Min	0.000	8.225	0.000	
	KV2	Max	0.000	6.093	0.000	
		Min	0.000	6.093	0.000	
	KV3	Max	0.000	10.967	0.000	
		Min	0.000	10.967	0.000	

4.12 PRŮŘEZY - VNITŘNÍ SÍLY

Kombinace výsledků

Prut č.	KV	Uzel č.	Místo x [m]	Sily [kN]		Momenty M _y [kNm]	Příslušející zat. stavy	
				N	V _z			
Průřez č. 2: T-obdélník 80/240								
1	KV1	1	0.000	Max N	0.000	0.000	0.000	KZ 1
				Min N	0.000	0.000	0.000	KZ 1
				Max V _z	0.000	0.000	0.000	KZ 1
				Min V _z	0.000	0.000	0.000	KZ 1
				Max M _y	0.000	0.000	0.000	KZ 1
				Min M _y	0.000	0.000	0.000	KZ 1
		2	1.880	Max N	0.000	-0.788	-0.741	KZ 1
				Min N	0.000	-0.788	-0.741	KZ 1
				Max V _z	0.000	-0.788	-0.741	KZ 1
				Min V _z	0.000	-0.788	-0.741	KZ 1
				Max M _y	0.000	-0.788	-0.741	KZ 1
				Min M _y	0.000	-0.788	-0.741	KZ 1
	KV2	1	0.000	Max N	0.000	0.000	0.000	KZ 2
				Min N	0.000	0.000	0.000	KZ 2
				Max V _z	0.000	0.000	0.000	KZ 2
				Min V _z	0.000	0.000	0.000	KZ 2
				Max M _y	0.000	0.000	0.000	KZ 2
				Min M _y	0.000	0.000	0.000	KZ 2
		2	1.880	Max N	0.000	-0.584	-0.549	KZ 2
				Min N	0.000	-0.584	-0.549	KZ 2
				Max V _z	0.000	-0.584	-0.549	KZ 2
				Min V _z	0.000	-0.584	-0.549	KZ 2
				Max M _y	0.000	-0.584	-0.549	KZ 2
				Min M _y	0.000	-0.584	-0.549	KZ 2
KV3	1	0.000	Max N	0.000	0.000	0.000	KZ 3	
			Min N	0.000	0.000	0.000	KZ 3	
			Max V _z	0.000	0.000	0.000	KZ 3	
			Min V _z	0.000	0.000	0.000	KZ 3	
			Max M _y	0.000	0.000	0.000	KZ 3	
			Min M _y	0.000	0.000	0.000	KZ 3	
	2	1.880	Max N	0.000	-1.051	-0.988	KZ 3	
			Min N	0.000	-1.051	-0.988	KZ 3	
			Max V _z	0.000	-1.051	-0.988	KZ 3	
			Min V _z	0.000	-1.051	-0.988	KZ 3	
			Max M _y	0.000	-1.051	-0.988	KZ 3	
			Min M _y	0.000	-1.051	-0.988	KZ 3	
2	KV1	2	0.000	Max N	-0.000	1.630	-0.741	KZ 1
				Min N	-0.000	1.630	-0.741	KZ 1
				Max V _z	-0.000	1.630	-0.741	KZ 1
				Min V _z	-0.000	1.630	-0.741	KZ 1
				Max M _y	-0.000	1.630	-0.741	KZ 1
				Min M _y	-0.000	1.630	-0.741	KZ 1
		3	0.600	Max N	-0.000	1.379	0.162	KZ 1
				Min N	-0.000	1.379	0.162	KZ 1
				Max V _z	-0.000	1.379	0.162	KZ 1
				Min V _z	-0.000	1.379	0.162	KZ 1
				Max M _y	-0.000	1.379	0.162	KZ 1
				Min M _y	-0.000	1.379	0.162	KZ 1
	KV2	2	0.000	Max N	-0.000	1.208	-0.549	KZ 2
				Min N	-0.000	1.208	-0.549	KZ 2
				Max V _z	-0.000	1.208	-0.549	KZ 2
				Min V _z	-0.000	1.208	-0.549	KZ 2
				Max M _y	-0.000	1.208	-0.549	KZ 2
				Min M _y	-0.000	1.208	-0.549	KZ 2
	3	0.600	Max N	-0.000	1.021	0.120	KZ 2	
			Min N	-0.000	1.021	0.120	KZ 2	
			Max V _z	-0.000	1.021	0.120	KZ 2	
			Min V _z	-0.000	1.021	0.120	KZ 2	
			Max M _y	-0.000	1.021	0.120	KZ 2	
			Min M _y	-0.000	1.021	0.120	KZ 2	



Projekt:

Model: Podlahový rošt nové

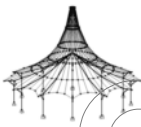
Datum: 25.4.2016

Krokve

4.12 PRŮŘEZY - VNITŘNÍ SÍLY

Kombinace výsledků

Prut č.	KV	Uzel č.	Místo x [m]	Síly [kN]		Momenty M _y [kNm]	Příslušející zat. stavy	
				N	V _z			
2	KV2			Min N	▷ -0.000	1.021	0.120	KZ 2
				Max V _z	▷ -0.000	1.021	0.120	KZ 2
				Min V _z	▷ -0.000	1.021	0.120	KZ 2
				Max M _y	▷ -0.000	1.021	0.120	KZ 2
				Min M _y	▷ -0.000	1.021	0.120	KZ 2
				Max N	▷ -0.000	1.021	0.120	KZ 2
	KV3	2	0.000	Max N	▷ -0.001	2.174	-0.988	KZ 3
				Min N	▷ -0.001	2.174	-0.988	KZ 3
				Max V _z	▷ -0.001	2.174	-0.988	KZ 3
		3	0.600	Min V _z	▷ -0.001	2.174	-0.988	KZ 3
				Max M _y	▷ -0.001	2.174	-0.988	KZ 3
				Min M _y	▷ -0.001	2.174	-0.988	KZ 3
3	KV1	3	0.000	Max N	▷ 0.000	-2.010	0.162	KZ 1
				Min N	▷ 0.000	-2.010	0.162	KZ 1
				Max V _z	▷ 0.000	-2.010	0.162	KZ 1
				Min V _z	▷ 0.000	-2.010	0.162	KZ 1
				Max M _y	▷ 0.000	-2.010	0.162	KZ 1
				Min M _y	▷ 0.000	-2.010	0.162	KZ 1
		4	0.200	Max N	▷ 0.000	-2.125	-0.252	KZ 1
				Min N	▷ 0.000	-2.125	-0.252	KZ 1
				Max V _z	▷ 0.000	-2.125	-0.252	KZ 1
				Min V _z	▷ 0.000	-2.125	-0.252	KZ 1
				Max M _y	▷ 0.000	-2.125	-0.252	KZ 1
				Min M _y	▷ 0.000	-2.125	-0.252	KZ 1
	KV2	3	0.000	Max N	▷ 0.000	-1.489	0.120	KZ 2
				Min N	▷ 0.000	-1.489	0.120	KZ 2
				Max V _z	▷ 0.000	-1.489	0.120	KZ 2
				Min V _z	▷ 0.000	-1.489	0.120	KZ 2
				Max M _y	▷ 0.000	-1.489	0.120	KZ 2
				Min M _y	▷ 0.000	-1.489	0.120	KZ 2
		4	0.200	Max N	▷ 0.000	-1.574	-0.187	KZ 2
				Min N	▷ 0.000	-1.574	-0.187	KZ 2
				Max V _z	▷ 0.000	-1.574	-0.187	KZ 2
				Min V _z	▷ 0.000	-1.574	-0.187	KZ 2
				Max M _y	▷ 0.000	-1.574	-0.187	KZ 2
				Min M _y	▷ 0.000	-1.574	-0.187	KZ 2
KV3	3	0.000	Max N	▷ 0.000	-2.680	0.216	KZ 3	
			Min N	▷ 0.000	-2.680	0.216	KZ 3	
			Max V _z	▷ 0.000	-2.680	0.216	KZ 3	
			Min V _z	▷ 0.000	-2.680	0.216	KZ 3	
			Max M _y	▷ 0.000	-2.680	0.216	KZ 3	
			Min M _y	▷ 0.000	-2.680	0.216	KZ 3	
	4	0.200	Max N	▷ 0.000	-2.833	-0.336	KZ 3	
			Min N	▷ 0.000	-2.833	-0.336	KZ 3	
			Max V _z	▷ 0.000	-2.833	-0.336	KZ 3	
			Min V _z	▷ 0.000	-2.833	-0.336	KZ 3	
			Max M _y	▷ 0.000	-2.833	-0.336	KZ 3	
			Min M _y	▷ 0.000	-2.833	-0.336	KZ 3	
4	KV1	4	0.000	Max N	▷ -0.000	0.657	-0.252	KZ 1
				Min N	▷ -0.000	0.657	-0.252	KZ 1
				Max V _z	▷ -0.000	0.657	-0.252	KZ 1
				Min V _z	▷ -0.000	0.657	-0.252	KZ 1
				Max M _y	▷ -0.000	0.657	-0.252	KZ 1
				Min M _y	▷ -0.000	0.657	-0.252	KZ 1
		5	1.900	Max N	▷ 0.000	-0.435	-0.041	KZ 1
				Min N	▷ 0.000	-0.435	-0.041	KZ 1
				Max V _z	▷ 0.000	-0.435	-0.041	KZ 1
				Min V _z	▷ 0.000	-0.435	-0.041	KZ 1
				Max M _y	▷ 0.000	-0.435	-0.041	KZ 1
				Min M _y	▷ 0.000	-0.435	-0.041	KZ 1
	KV2	4	0.000	Max N	▷ -0.000	0.487	-0.187	KZ 2
				Min N	▷ -0.000	0.487	-0.187	KZ 2
				Max V _z	▷ -0.000	0.487	-0.187	KZ 2
				Min V _z	▷ -0.000	0.487	-0.187	KZ 2
				Max M _y	▷ -0.000	0.487	-0.187	KZ 2
				Min M _y	▷ -0.000	0.487	-0.187	KZ 2
		5	1.900	Max N	▷ 0.000	-0.322	-0.030	KZ 2
				Min N	▷ 0.000	-0.322	-0.030	KZ 2
				Max V _z	▷ 0.000	-0.322	-0.030	KZ 2
				Min V _z	▷ 0.000	-0.322	-0.030	KZ 2
				Max M _y	▷ 0.000	-0.322	-0.030	KZ 2
				Min M _y	▷ 0.000	-0.322	-0.030	KZ 2
KV3	4	0.000	Max N	▷ -0.000	0.876	-0.336	KZ 3	
			Min N	▷ -0.000	0.876	-0.336	KZ 3	
			Max V _z	▷ -0.000	0.876	-0.336	KZ 3	
			Min V _z	▷ -0.000	0.876	-0.336	KZ 3	
			Max M _y	▷ -0.000	0.876	-0.336	KZ 3	
			Min M _y	▷ -0.000	0.876	-0.336	KZ 3	
	5	1.900	Max N	▷ 0.000	-0.580	-0.054	KZ 3	
			Min N	▷ 0.000	-0.580	-0.054	KZ 3	



Projekt:

Model: Podlahový rošt nové

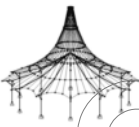
Datum: 25.4.2016

Krokve

4.12 PRŮŘEZY - VNITŘNÍ SÍLY

Kombinace výsledků

Prut č.	KV	Uzel č.	Místo x [m]	Síly [kN]			Momenty M _y [kNm]	Příslušející zat. stavy	
				N	V _z				
4	KV3			Max V _z	0.000	-0.580	-0.054	KZ 3	
				Min V _z	0.000	-0.580	-0.054	KZ 3	
				Max M _y	0.000	-0.580	-0.054	KZ 3	
				Min M _y	0.000	-0.580	-0.054	KZ 3	
5	KV1	5	0.000	Max N	0.000	-4.131	-0.041	KZ 1	
				Min N	0.000	-4.131	-0.041	KZ 1	
				Max V _z	0.000	-4.131	-0.041	KZ 1	
				Min V _z	0.000	-4.131	-0.041	KZ 1	
			6	0.800	Max N	-0.008	-4.591	-3.530	KZ 1
					Min N	-0.008	-4.591	-3.530	KZ 1
					Max V _z	-0.008	-4.591	-3.530	KZ 1
					Min V _z	-0.008	-4.591	-3.530	KZ 1
					Max M _y	-0.008	-4.591	-3.530	KZ 1
					Min M _y	-0.008	-4.591	-3.530	KZ 1
					Max N	0.000	-3.060	-0.030	KZ 2
					Min N	0.000	-3.060	-0.030	KZ 2
	KV2	5	0.000	Max V _z	0.000	-3.060	-0.030	KZ 2	
				Min V _z	0.000	-3.060	-0.030	KZ 2	
				Max M _y	0.000	-3.060	-0.030	KZ 2	
				Min M _y	0.000	-3.060	-0.030	KZ 2	
		6	0.800	Max N	-0.003	-3.401	-2.615	KZ 2	
				Min N	-0.003	-3.401	-2.615	KZ 2	
				Max V _z	-0.003	-3.401	-2.615	KZ 2	
				Min V _z	-0.003	-3.401	-2.615	KZ 2	
				Max M _y	-0.003	-3.401	-2.615	KZ 2	
				Min M _y	-0.003	-3.401	-2.615	KZ 2	
				Max N	0.000	-5.508	-0.054	KZ 3	
				Min N	0.000	-5.508	-0.054	KZ 3	
	KV3	5	0.000	Max V _z	0.000	-5.508	-0.054	KZ 3	
				Min V _z	0.000	-5.508	-0.054	KZ 3	
				Max M _y	0.000	-5.508	-0.054	KZ 3	
				Min M _y	0.000	-5.508	-0.054	KZ 3	
		6	0.800	Max N	-0.011	-6.121	-4.706	KZ 3	
				Min N	-0.011	-6.121	-4.706	KZ 3	
				Max V _z	-0.011	-6.121	-4.706	KZ 3	
				Min V _z	-0.011	-6.121	-4.706	KZ 3	
				Max M _y	-0.011	-6.121	-4.706	KZ 3	
				Min M _y	-0.011	-6.121	-4.706	KZ 3	
				Max N	0.006	3.634	-3.530	KZ 1	
				Min N	0.006	3.634	-3.530	KZ 1	
	KV1	6	0.000	Max V _z	0.006	3.634	-3.530	KZ 1	
				Min V _z	0.006	3.634	-3.530	KZ 1	
				Max M _y	0.006	3.634	-3.530	KZ 1	
				Min M _y	0.006	3.634	-3.530	KZ 1	
		7	1.060	Max N	0.012	3.025	0.000	KZ 1	
				Min N	0.012	3.025	0.000	KZ 1	
				Max V _z	0.012	3.025	0.000	KZ 1	
				Min V _z	0.012	3.025	0.000	KZ 1	
				Max M _y	0.012	3.025	0.000	KZ 1	
				Min M _y	0.012	3.025	0.000	KZ 1	
				Max N	0.003	2.692	-2.615	KZ 2	
				Min N	0.003	2.692	-2.615	KZ 2	
	KV2	6	0.000	Max V _z	0.003	2.692	-2.615	KZ 2	
				Min V _z	0.003	2.692	-2.615	KZ 2	
				Max M _y	0.003	2.692	-2.615	KZ 2	
				Min M _y	0.003	2.692	-2.615	KZ 2	
		7	1.060	Max N	0.005	2.241	0.000	KZ 2	
				Min N	0.005	2.241	0.000	KZ 2	
				Max V _z	0.005	2.241	0.000	KZ 2	
				Min V _z	0.005	2.241	0.000	KZ 2	
				Max M _y	0.005	2.241	0.000	KZ 2	
				Min M _y	0.005	2.241	0.000	KZ 2	
				Max N	0.009	4.846	-4.706	KZ 3	
				Min N	0.009	4.846	-4.706	KZ 3	
	KV3	6	0.000	Max V _z	0.009	4.846	-4.706	KZ 3	
				Min V _z	0.009	4.846	-4.706	KZ 3	
				Max M _y	0.009	4.846	-4.706	KZ 3	
				Min M _y	0.009	4.846	-4.706	KZ 3	
		7	1.060	Max N	0.017	4.034	0.000	KZ 3	
				Min N	0.017	4.034	0.000	KZ 3	
				Max V _z	0.017	4.034	0.000	KZ 3	
				Min V _z	0.017	4.034	0.000	KZ 3	
				Max M _y	0.017	4.034	0.000	KZ 3	
				Min M _y	0.017	4.034	0.000	KZ 3	



Projekt:

Model: Podlahový rošt nové

Datum: 25.4.2016

Krokve

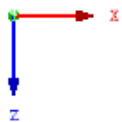
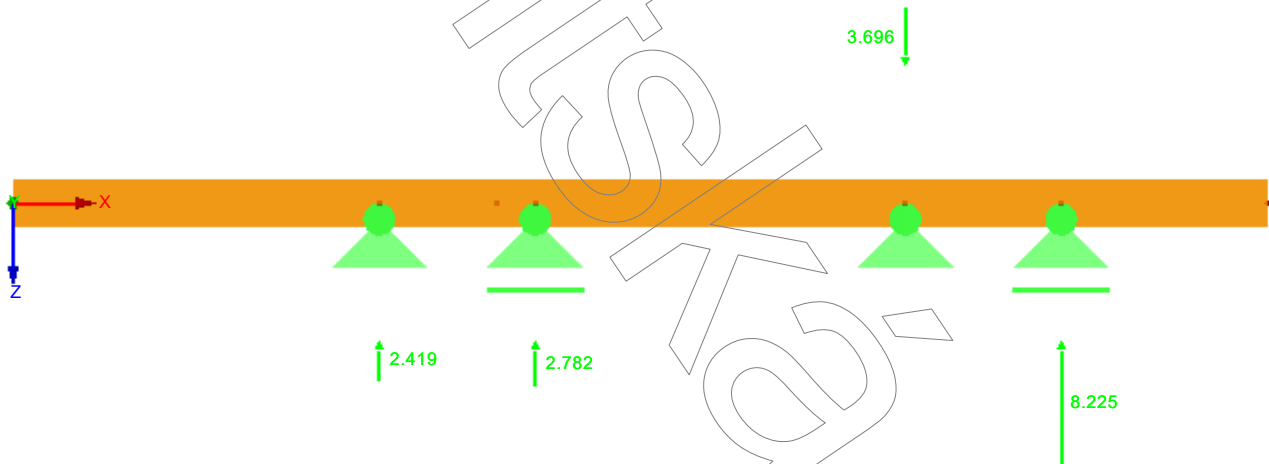
PODPOROVÉ REAKCE

KV1: MSU (STR/GEO) - stálá / přechodná - rovn. 6.10

Podporové reakce [kN]

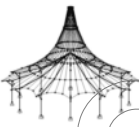
Kombinace výsledků: Max. a mín. hodnoty

Proti směru osy Y



Max P-Z': 8.225, Min P-Z': -3.696 kN
Max P-X': 0.000, Min P-X': 0.000 kN

0.777 m



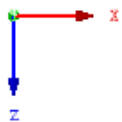
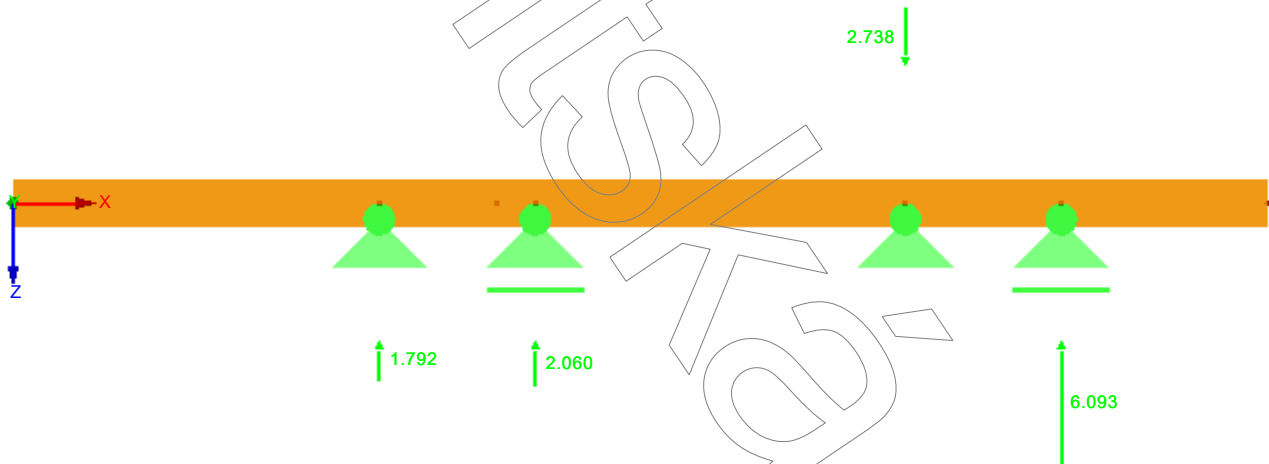
Projekt: Model: Podlahový rošt nové
Krokve

Datum: 25.4.2016

PODPOROVÉ REAKCE

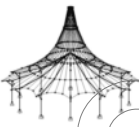
KV2: MSP - charakteristická / málo častá
Podporové reakce [kN]
Kombinace výsledků: Max. a mín. hodnoty

Proti směru osy Y



Max P-Z': 6.093, Min P-Z': -2.738 kN
Max P-X': 0.000, Min P-X': 0.000 kN

0.777 m



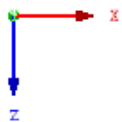
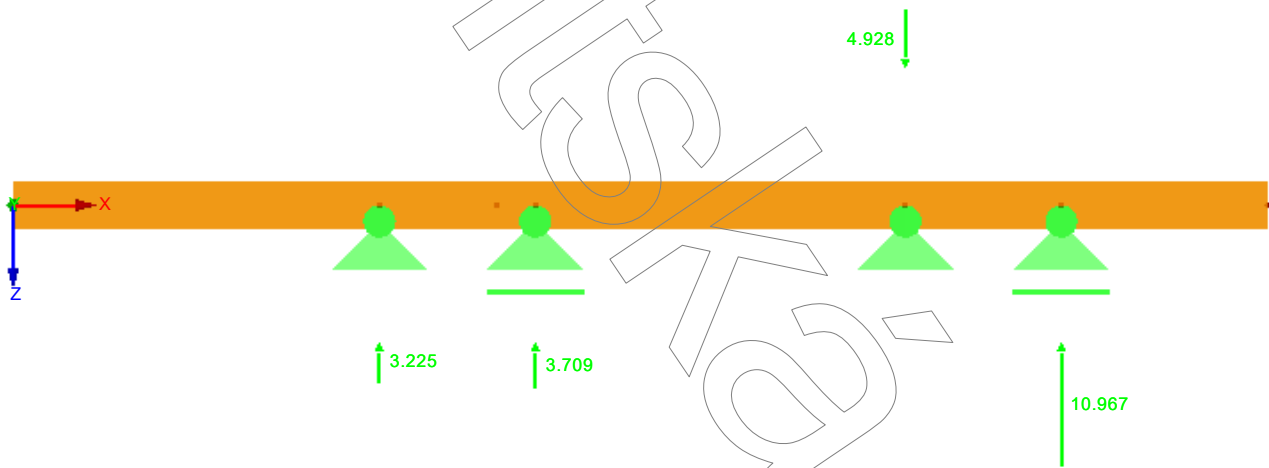
Projekt: Model: Podlahový rošt nové
Krokve

Datum: 25.4.2016

PODPOROVÉ REAKCE

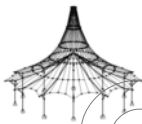
KV3: MSP - kvazistála
Podporové reakce [kN]
Kombinace výsledků: Max. a mín. hodnoty

Proti směru osy Y



Max P-Z: 10.967, Min P-Z: -4.928 kN
Max P-X: 0.000, Min P-X: 0.000 kN

0.777 m



RF-TIMBER Pro
PR1

Projekt:

Model: Podlahový rošt nové

Datum: 25.4.2016

Krokve

1.1.1 ZÁKLADNÍ ÚDAJE

Pruty k posouzení:	Všechny
Posouzení podle normy:	ČSN EN 1995-1-1/NA:2007-09
Posouzení mezního stavu únosnosti Kombinace výsledků k posouzení:	KV1 MSÚ (STR/GEO) - stálá / přechodná - rovn. 6.10
Posouzení mezního stavu použitelnosti Kombinace výsledků k posouzení:	KV3 MSP - kvazistálá

1.2 MATERIÁLY

Mat. č.	Označení	Kategorie součinitele	Komentář
1	Topolové a jehličnaté dřevo C24	Rostlé dřevo	

1.3.1 PRŮŘEZY

Průř. č.	Mat. č.	Průřez Označení	Komentář
1	2	T-obléčník 80/240	
2	1	T-obléčník 80/240	

T-obléčník 80/240



1.4 TŘÍDA TRVÁNÍ ZATÍŽENÍ A TŘÍDA PROVOZU

ZS/KZ/	Označení ZS resp. KZ/KV	Typ ZS	Třída trvání zatížení
ZS1	Stálé	Stálé	Stálé
KV1	MSÚ (STR/GEO) - stálá / přechodná - rovn. 6.10	-	Stálé
KV3	MSP - kvazistálá	-	Stálé

Třída provozu TP
Třída provozu 1: Stejná pro všechny pruty/sady
prutů

1.5 VZPĚRNÉ DÉLKY - PRUTY

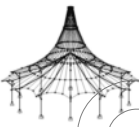
Prut č.	Vzpěr možný	Délka L [m]	Vzpěr okolo osy y			Vzpěr okolo osy z			Klopení		
			možný	$k_{cr,y}$	$L_{cr,y}$ [m]	možný	$k_{cr,z}$	$L_{cr,z}$ [m]	možný	L_{cr} ručně	$L_{cr,z}$ [m]
1	<input checked="" type="checkbox"/>	1.880	<input checked="" type="checkbox"/>	1.00	1.880	<input checked="" type="checkbox"/>	1.00	1.880	<input checked="" type="checkbox"/>	<input type="checkbox"/>	1.880
2	<input checked="" type="checkbox"/>	0.600	<input checked="" type="checkbox"/>	1.00	0.600	<input checked="" type="checkbox"/>	1.00	0.600	<input checked="" type="checkbox"/>	<input type="checkbox"/>	0.600
3	<input checked="" type="checkbox"/>	0.200	<input checked="" type="checkbox"/>	1.00	0.200	<input checked="" type="checkbox"/>	1.00	0.200	<input checked="" type="checkbox"/>	<input type="checkbox"/>	0.200
4	<input checked="" type="checkbox"/>	1.900	<input checked="" type="checkbox"/>	1.00	1.900	<input checked="" type="checkbox"/>	1.00	1.900	<input checked="" type="checkbox"/>	<input type="checkbox"/>	1.900
5	<input checked="" type="checkbox"/>	0.800	<input checked="" type="checkbox"/>	1.00	0.800	<input checked="" type="checkbox"/>	1.00	0.800	<input checked="" type="checkbox"/>	<input type="checkbox"/>	0.800
6	<input checked="" type="checkbox"/>	1.060	<input checked="" type="checkbox"/>	1.00	1.060	<input checked="" type="checkbox"/>	1.00	1.060	<input checked="" type="checkbox"/>	<input type="checkbox"/>	1.060

1.9 POUŽITELNOST

č.	Vztaženo na	Pruty/Sady č.	Vztážená délka			Nadvýšení			Typ nosníku
			Ručně	L [m]	Směr	$w_{c,y}$ [mm]	$w_{c,z}$ [mm]		
1	Prut	1	<input type="checkbox"/>	1.880	y; z	0.0	0.0	Nosník	
2	Prut	2	<input type="checkbox"/>	0.600	y; z	0.0	0.0	Nosník	
3	Prut	3	<input type="checkbox"/>	0.200	y; z	0.0	0.0	Nosník	
4	Prut	4	<input type="checkbox"/>	1.900	y; z	0.0	0.0	Nosník	
5	Prut	5	<input type="checkbox"/>	0.800	y; z	0.0	0.0	Nosník	
6	Prut	6	<input type="checkbox"/>	1.060	y; z	0.0	0.0	Nosník	

2.4 POSOUZENÍ PO PRUTECH

Prut č.	Místo x [m]	ZS/KZ/ KV	Posouzení	Podle Vzorec	
1	Průřez č. 2 - T-obléčník 80/240				
	0.000	KV1	0.00	£ 1	100) Únosnost průřezu - Zanedbatelné vnitřní síly
	1.880	KV1	0.05	£ 1	111) Únosnost průřezu - Smyk od posouvající síly Vz podle 6.1.7
	1.880	KV1	0.09	£ 1	151) Únosnost průřezu - Jednoosý ohyb podle 6.1.6
	1.880	KV1	0.09	£ 1	311) Ohýbaný prut bez tlakové síly podle 6.3.3 - ohyb okolo osy y
	0.000	KV3	0.00	£ 1	400) Použitelnost - Zanedbatelné deformace
2	Průřez č. 2 - T-obléčník 80/240				
	0.000	KV1	0.10	£ 1	111) Únosnost průřezu - Smyk od posouvající síly Vz podle 6.1.7
	0.000	KV1	0.09	£ 1	151) Únosnost průřezu - Jednoosý ohyb podle 6.1.6
	0.000	KV1	0.09	£ 1	311) Ohýbaný prut bez tlakové síly podle 6.3.3 - ohyb okolo osy y
	0.000	KV3	0.00	£ 1	400) Použitelnost - Zanedbatelné deformace
	0.200	KV3	0.01	£ 1	402) Použitelnost - Kvazistálá návrhová situace podle 7.2 - vnitřní pole, směr z
3	Průřez č. 2 - T-obléčník 80/240				
	0.200	KV1	0.13	£ 1	111) Únosnost průřezu - Smyk od posouvající síly Vz podle 6.1.7



Projekt:

Model: Podlahový rošt nové

Datum: 25.4.2016

Kroke

2.4 POSOUZENÍ PO PRUTECH

Prut č.	Místo x [m]	ZS/KZ/ KV	Posouzení			Podle Vzorec		
4	0.200	KV1	0.03	£ 1	151)	Únosnost průřezu - Jednoosý ohyb podle 6.1.6		
	0.200	KV1	0.03	£ 1	311)	Ohýbaný prut bez tlakové síly podle 6.3.3 - ohyb okolo osy y		
	0.000	KV3	0.00	£ 1	400)	Použitelnost - Zanedbatelné deformace		
	Průřez č. 2 - T-obdélník 80/240							
4	0.000	KV1	0.04	£ 1	111)	Únosnost průřezu - Smyk od posouvající síly Vz podle 6.1.7		
	0.000	KV1	0.03	£ 1	151)	Únosnost průřezu - Jednoosý ohyb podle 6.1.6		
	0.000	KV1	0.03	£ 1	311)	Ohýbaný prut bez tlakové síly podle 6.3.3 - ohyb okolo osy y		
	0.000	KV3	0.00	£ 1	400)	Použitelnost - Zanedbatelné deformace		
	1.140	KV3	0.01	£ 1	402)	Použitelnost - Kvazistálá návrhová situace podle 7.2 - vnitřní pole, směr z		
5	Průřez č. 2 - T-obdélník 80/240							
	0.800	KV1	0.29	£ 1	111)	Únosnost průřezu - Smyk od posouvající síly Vz podle 6.1.7		
	0.800	KV1	0.41	£ 1	151)	Únosnost průřezu - Jednoosý ohyb podle 6.1.6		
	0.800	KV1	0.41	£ 1	311)	Ohýbaný prut bez tlakové síly podle 6.3.3 - ohyb okolo osy y		
	0.000	KV3	0.00	£ 1	400)	Použitelnost - Zanedbatelné deformace		
0.400	KV3	0.06	£ 1	402)	Použitelnost - Kvazistálá návrhová situace podle 7.2 - vnitřní pole, směr z			
6	Průřez č. 2 - T-obdélník 80/240							
	0.000	KV1	0.23	£ 1	111)	Únosnost průřezu - Smyk od posouvající síly Vz podle 6.1.7		
	0.000	KV1	0.41	£ 1	151)	Únosnost průřezu - Jednoosý ohyb podle 6.1.6		
	0.000	KV1	0.41	£ 1	311)	Ohýbaný prut bez tlakové síly podle 6.3.3 - ohyb okolo osy y		
	0.000	KV3	0.00	£ 1	400)	Použitelnost - Zanedbatelné deformace		
0.530	KV3	0.07	£ 1	402)	Použitelnost - Kvazistálá návrhová situace podle 7.2 - vnitřní pole, směr z			